



Ловейкін В. С.

Човнюк Ю. В.

Ярошенко В. В.

Національний  
університет  
біоресурсів і  
природокористування  
України

УДК 62:534.031

## АНАЛІТИЧНІ РОЗВ'ЯЗКИ РІВНЯНЬ ДИНАМІЧНО НЕЛІНІЙНИХ ВІБРОСИСТЕМ ЗА НАЯВНОСТІ СУХОГО ТЕРТЯ

Получены точные аналитические решение уравнений динамически нелинейных вибросистем при наличии сил сухого трения. Проведена динамическая оптимизация режимов движения указанных систем в периоды пуска.

Are received exact analytical the decision of the equations dynamically nonlinear vibrosystem in the presence of forces of a dry friction. Dynamic optimisation of modes of movement of the specified systems is spent to the start-up periods.

### Постановка проблеми.

Під динамічною нелінійністю зазвичай розуміють таку нелінійність, котра проявляє себе тільки у процесі руху [6]. До вібросистем з динамічною нелінійністю відносяться коливні системи більшості машин вібраційної дії, які застосовуються у будівництві, у котрих сили непружного опору (демпфування) змінюються непропорційно швидкості у першій степені.

У процесі роботи вібромашини виникають різноманітні за своєю природою непружні опори: оброблюваного матеріалу; оточуючого повітря; конструкцій машини; опори, обумовлені витратами енергії у з'єднаних металевих конструкцій, шарнірах, направляючих, у місцях опор і закріплення пружин тощо. Всі ці опори по-різному змінюються у залежності від переміщень елементів коливної системи вібромашини. Кожний з них впливає на форму й амплітуду коливань, а на витрати енергії.

Результуючу всіх непружних опорів вібросистеми можна подати як багатокомпонентний опір, який складається із суми одночасно діючих однокомпонентних опорів. У якості однокомпонентних опорів розглядаються: опір, що залежить від швидкості; гістерезисний опір, що є функцією переміщення і залежить від амплітуди; опір, що залежить від фази збудуючої сили; опір, що залежить тільки від переміщення, постійний за величиною опір сухого тертя. Напрямок результуючого багатокомпонентного опору, так само як і напрямки всіх його окремих компонентів, завжди зворотній до швидкості.

Вимушені коливання таких динамічно нелінійних вібросистем описуються рівнянням:

$$M\ddot{x} + F(x, \dot{x}, \omega t) \cdot \frac{\dot{x}}{|\dot{x}|} + kx = Q \cos(\omega t + \alpha);$$
$$\dot{x}(0) = 0;$$
$$x\left(\frac{\pi}{\omega}\right) = -x_0; \quad \dot{x}\left(\frac{\pi}{\omega}\right) = 0;$$

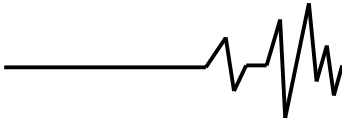
де  $M$  – загальна коливна маса вібросистеми;  $k$  – сумарна жорсткість пружини;  $Q$  – амплітуда збудуючої сили;  $\omega$  – частота вимушених коливань;

$F(x, \dot{x}, \omega t)$  – додатня функція, що визначає величину сили непружного опору;

$\frac{\dot{x}}{|\dot{x}|}$  – множник який вказує, що напрямок сили опору змінюється зі зміною напрямку швидкості ( $\frac{\dot{x}}{|\dot{x}|} \equiv \text{sign}\dot{x}$ );  $X_0$  – амплітуда коливань;  $\alpha$  – фазовий кут збудуючої сили у момент максимального переміщення системи. Амплітуда коливань  $X_0$  і фазовий кут  $\alpha$  – невідомі.

Точного аналітичного розв'язку рівняння (1) немає. Опубліковані в літературі наближені методи можуть застосовані тільки до систем з малим опором, тобто з малою не лінійністю. Вказані вище наближені методи засновані на припущенні, що коливання гармонічні.

Проте, у багатьох вібраційних машинах, особливо у віброуціплювачах, демпфуючі сили змінюються непропорційно швидкості, відповідно, за формою є нелінійними. За величиною ці сили мають порядок збудуючої сили і можуть суттєво перевищувати величину сил пружності пружини, тобто є відносно



великими. Такі вібраційні машини неможливо розглядати як системи з малим опором.

**Огляд основних публікацій за темою дослідження.**

У роботах [5,7-9] розглянуті методи розв'язку рівнянь, що описують вимушені коливання вібраторів за наявності сухого тертя. Проте отримані розв'язки є неповними, оскільки лише наближено описують систему. (Логічною була б побудова розв'язків, що враховують силу сухого тертя, за допомогою узагальнених функцій, бо  $\text{sign } x$  – є такою саме функцією). У роботі [5] розглянуті вимушені коливання вібратора з синусоїдальною збуджуючою силою за наявності сухого тертя. Вперше це питання досліджував Ден-Гартог [1,2], котрий показав, що у залежності від величини сили тертя коливання можуть відбуватися з паузами і без пауз. Він отримав точний аналітичний розв'язок для вібросистем, у котрих відношення частоти  $\omega$  збуджуючої сили до частоти  $\rho$  власних коливань вібросистеми

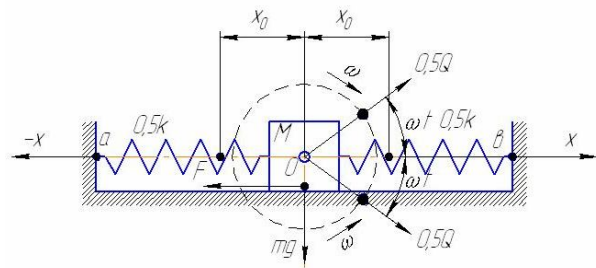
$\frac{\omega}{\rho} \geq 0,5$ . Для вібросистем, у котрих це відношення менше 0,5, Ден-Гартог отримав наближений розв'язок, обмежуючи його деяким діапазоном частот. В області малих значень  $\frac{\omega}{\rho} < 0,3$ , як він стверджує, рух має за півперіод більше однієї паузи і для цієї області не може бути отриманий аналітичний розв'язок.

У подальшому проблемою вимушених коливань за наявності сухого тертя займалися інші вчені [3,9], котрі досліджували головним чином системи з несинусоїдальними збуджуючими силами.

**Мета роботи** полягає у розв'язку задачі вимушених коливань вібратора за наявністю сил сухого тертя у постановці Ден-Гартога, з тією різницею, що розв'язок задачі буде даний для всіх діапазонів частот і значень сили опору. Крім того, буде: 1) отриманий загальний розв'язок рівнянь руху вібросистеми для коливань з паузами і без пауз, у просторі узагальнених функцій [10-12]; 2) показано, що в усіх випадках коливання може мати тільки одну паузу за половину періоду. Слід зазначити, що на відміну від робіт [5,7-9], аналітичний розв'язок, отриманий у даній роботі, може бути легко проінтегрований у просторі перетворень Лапласа, Фур'є, Бесселя і для інших видів збуджуючої сили, урахування інших різновидів сил тертя (наприклад, в'язкості), тобто має високий ступінь універсальності. Розглянуті також оптимальні закони руху системи методами [13].

**Виклад основного змісту дослідження. Рівняння руху нелінійної вібросистеми.** Модель коливної системи з сухим тертям, наведена у [5], зводиться до наступної. Маса  $M$ , закріплена пружинами до нерухої стінки, має можливість ковзати вздовж горизонтальної сухої поверхні. (Подібні моделі застосовуються, зокрема, при розгляді/моделюванні процесів поверхневого вібраційного ущільнення сумішей у виробництві будівельних матеріалів, при обробці сільськогосподарської продукції тощо). Коефіцієнт тертя ковзання  $\mu$ . На масу  $M$  діє гармонічна вимушена сила  $Q \cdot \cos(\omega t + \alpha)$ , відновлююча сила пружини  $kx$  та постійна за величиною, але завжди протилежна швидкості руху за напрямом сила тертя  $F = Mg \cdot \mu$  ( $g$  – прискорення сили тяжіння).

Розглянемо тільки усталені вимушені коливання системи. Ці коливання здійснюються з частотою  $\omega$ , яка дорівнює частоті вимушеної сили, й з розмахом  $O_1 - O_2$ , рівним подвійній амплітуді коливань  $2X_0$ . У кратних точках тертя  $O_1$  та  $O_2$ , одночасно зі зміною швидкості, сила тертя  $F$  стрибкоподібно змінює свій знак на протилежний (рис.1).



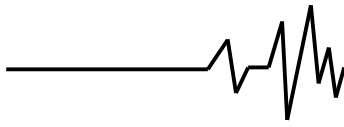
**Рис. 1. Схема вібратора з сухим тертям**

Умова руху системи у обидві сторони абсолютно однакові. Тому досить розглянути лише одну половину циклу коливань.

Припустимо, що маса  $M$  знаходиться у одному з крайніх положень. За початком відліку часу ( $t_0=0$ ) приймаємо момент початку руху маси  $M$  з крайнього положення і припускають, що рух з одного кінцевого положення  $O_1$  у інше кінцеве положення  $O_2$  відбувається за час  $t_1$  (половина циклу/періоду руху системи  $T$ ). Назвемо цей час тривалістю руху. Зрозуміло, що тривалість руху не може бути більше половини періоду коливань вимушеної сили  $\frac{\pi}{\omega}$ ,

тобто  $t_1 \leq \frac{\pi}{\omega}$ .

Тепер диференціальне рівняння вимушених коливань систем з урахуванням результатів робіт [10-12] запишемо у вигляді:



$$M\ddot{x} + F \cdot [1 + 2 \cdot \sum_{j=1}^{\infty} (-1)^j \cdot \delta_0(t - j \cdot t_1)] + kx = Q \cos(\omega t + \alpha); \quad (2)$$

$$X(0) = X_0; \dot{X}(0) = 0; X(t_1) = -X_0; \dot{X}(t_1) = 0,$$

де  $\alpha$  - фазовий кут вимушеної сили при  $t=0$ ;  $\delta_0(z)$  - функція Хевісайда аргументу  $z$ ,  $X_0$  - амплітуда коливань.

Перш ніж приступити до дослідження цього рівняння, розглянемо деякі особливості системи. У крайніх точках швидкість маси  $M$ , а відповідно й кінетична енергія системи, дорівнює нулю. У процесі руху від прикладених до маси  $M$  сил кінетична енергія системи змінюється. Однак у даному випадку прикладені сили по-різному впливають на зміни кінетичної енергії. Так, збурююча сила  $Q \cdot \cos(\omega t + \alpha)$  й сила пружності пружини  $kx$  можуть збільшувати й зменшувати кінетичну енергію системи. Це залежить від того, співпадає у даний момент напрямом цих сил з напрямом швидкості чи ні. Сила тертя за своєю природою здатна тільки зменшувати кінематичну енергію системи, тобто сповільнювати рух маси, і не здатна створювати пришвидшення.

Таким чином якщо у момент  $t=t_1$  кінетична енергія системи стає рівною нулю, то у наступну мить збільшення кінетичної енергії можливе тільки за нерівності:

$$P = |Q \cdot \cos(\omega t + \alpha) - kx| > |F|, \quad (3)$$

за якої сили  $P$ , здатні збільшувати кінетичну енергію, за абсолютною величиною більше сили тертя  $F$ .

При оберненій нерівності:

$$P = |Q \cdot \cos(\omega t + \alpha) - kx| < |F|, \quad (4)$$

система продовжує залишатися у стані спокою, поки після деякого часу вимушена сила не досягне величини, при якій:

$$P = |Q \cdot \cos(\omega t + \alpha) - kx| = |F|.$$

Подальша зміна вимушеної сили створить умову (3), яка порушує стан спокою. Але оскільки вимушена сила змінюється неперервне, після паузи, рух почнеться з моменту ( $t$ ), який відповідає рівності (5), тобто з нульового прискорення.

Таким чином, якщо у крайніх точках має місце нерівність (3), кінетична енергія, приймаючи нульове значення, потім миттєво збільшується, що відповідає випадку коливань без пауз, коли тривалість руху дорівнює півперіоду коливань вимушеної сили ( $t_1 = \frac{\pi}{\omega}$ ,

$$T = 2t_1 = 2 \frac{\pi}{\omega}.$$

Якщо у момент приходу системи у кінцеве положення має місце нерівність (4), кінетична енергія системи, приймаючи нульове значення, залишається такою до моменту часу  $t = \frac{\pi}{\omega}$ , коли вимушена сила досягне величини зворотної/оберненої нерівності (3). Протягом цього часу виникає пауза у русі.

Оскільки у момент пауз:

$$t_1 \leq t \leq \frac{\pi}{\omega}; \quad x(t) = -x_0; \dot{x}(t) = 0; \ddot{x}(t) = 0, \quad (6)$$

рух з крайніх/кінцевих точок починається з нульового прискорення. Для коливань з паузами розв'язок повинен задовольняти таким додатковим умовам:

$$\begin{aligned} x\left(\frac{\pi}{\omega}\right) &= -x_0; \quad \dot{x}\left(\frac{\pi}{\omega}\right) = 0; \quad \ddot{x}\left(\frac{\pi}{\omega}\right) = 0; \\ x(0) &= x_0; \quad \dot{x}(0) = 0; \quad \ddot{x}(0) = 0; \end{aligned} \quad (7)$$

**Мета розв'язку.** Із урахування вказаних вище властивостей сили тертя цю силу розглядаємо як зовнішню вимушену силу з від'ємною дією. Відносячи  $F \cdot \sin(\ddot{x})$  до зовнішніх сил і позначаючи для скорочення запису:

$$F \text{sign}(x) = F^* = F \cdot [1 + 2 \cdot \sum_{j=1}^{\infty} (-1)^j \cdot \delta_0(t - jt_1)], \quad (8)$$

рівняння (2) запишемо у вигляді:

$$M\ddot{x} + kx = Q \cos(\omega t + \alpha) - F^*. \quad (9)$$

Вираз (9) можна розглядати як рівняння вимушених коливань лінійної системи без опору, під дією зовнішньої сили довільної форми. Розв'язок цього рівняння методом зміни довільних сталих відомий [4].

Загальний інтеграл рівняння (9):

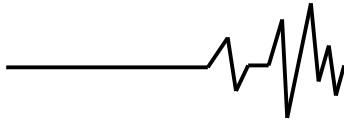
$$\begin{aligned} x &= C_1 \cdot \cos \rho t + C_2 \cdot \sin \rho t + \\ &+ \frac{1}{M\rho} \cdot \int_0^t [Q \cdot \cos(\omega \varepsilon + \alpha) - F^*] \cdot \sin[\rho(t - \varepsilon)] d\varepsilon, \end{aligned} \quad (10)$$

де  $C_1$  і  $C_2$  - постійні інтегрування;  $\rho = \sqrt{\frac{k}{M}}$  - власна частота коливань пружної системи при відсутності опору;  $\varepsilon$  - змінна інтегрування.

Постійні інтегрування  $C_1 = x_0$  і  $C_2 = 0$  знаходять з початкових умов. Підставляючи ці постійні у рівняння (10) й розкриваючи інтеграл, отримуємо:

$$\begin{aligned} x &= x_0 \cdot \cos \rho t - \frac{Q}{M \cdot (\omega^2 - \rho^2)} \cdot [(\cos \omega t - \cos \rho t) \cdot \cos \alpha - \\ &- (\sin \omega t - \frac{\omega}{\rho} \cdot \sin \rho t) \cdot \sin \alpha] - \\ &- \frac{F^*}{M\rho^2} \cdot (1 - \cos \rho t). \end{aligned} \quad (11)$$

Після диференціювання рівняння (11):



$$\begin{aligned} \dot{x} = & -x_0 \cdot \rho \cdot \sin \rho t - \frac{Q}{M \cdot (\omega^2 - \rho^2)} \cdot [(-\omega \cdot \sin \omega t + \\ & + \rho \sin \rho t) \cdot \cos \alpha - (\omega \cos \omega t - \\ & - \omega \cos \rho t) \cdot \sin \alpha] - \frac{F^*}{M \rho^2} \cdot \rho \cdot \sin \rho t. \end{aligned} \quad (12)$$

Рівняння (8) та (9) повинні відповідати умові у кінцевій точці:

$$x(t_1) = -x_0; \quad \dot{x}(t_1) = 0. \quad (13)$$

Використовуючи ці умови, з рівнянь (11) та (12) отримуємо наступну систему з двох рівнянь:

$$\begin{aligned} x_0(1 + \cos \rho t) = & \frac{Q}{M \cdot (\omega^2 - \rho^2)} \cdot [(\cos \omega t_1 - \\ & - \cos \rho t_1) \cdot \cos \alpha - (\sin \omega t_1 - \frac{\omega}{\rho} \cdot \sin \rho t_1) \cdot \sin \alpha] + \\ & + \frac{F^*}{M \rho^2} \cdot (1 - \cos \rho t_1); \end{aligned} \quad (14)$$

$$\begin{aligned} x_0 \cdot \sin \rho t_1 - \frac{Q}{M \cdot (\omega^2 - \rho^2)} \cdot [(\frac{\omega}{\rho} \cdot \sin \omega t_1 + \\ & + \sin \rho t_1) \cdot \cos \alpha - (\cos \omega t_1 - \cos \rho t_1) \cdot \frac{\omega}{\rho} \cdot \sin \alpha] - \\ & - \frac{F^*}{M \rho^2} \cdot \sin \rho t_1 \end{aligned} \quad (15)$$

Рівняння (14) та (15) використано для визначення невідомих: амплітуди коливань  $x_0$ , фазового кута  $\alpha$  та тривалості руху  $t_1$ . Але для цього перш за все необхідно встановити, у яких випадках будуть реалізовані коливання з паузами, а у яких – без пауз.

Припустимо, що величина сили тертя така, що коливання відбуваються з паузами ( $t_1 < \frac{\pi}{\omega}$ ). У цьому випадку розв'язок повинен задовольняти додатковим умовам (6), (7). Підставляючи цю умову у рівняння (9), отримуємо формулу для амплітуди коливань з паузами:

$$x_0 = \frac{Q}{M \rho^2} \cdot (\cos \alpha - \frac{F^*}{Q}) \quad (16)$$

Розв'язуючи сумісно рівняння (15) та (16), виключаємо з них  $x_0$ . Для цього поділимо (15) на  $\sin \rho t_1$  і віднімемо від отриманого виразу рівняння (16):

$$\begin{aligned} \frac{Q}{M \cdot (\omega^2 - \rho^2)} \times \\ \frac{[(\frac{\omega}{\rho} \cdot \sin \omega t_1 - \sin \rho t_1) \cdot \cos \alpha + (\cos \omega t_1 - \cos \rho t_1) \cdot \frac{\omega}{\rho} \cdot \sin \alpha]}{\sin \rho t_1} - \\ = \frac{Q}{M \rho^2} \cos \alpha, \end{aligned} \quad (17)$$

звідси після елементарних перетворень отримуємо залежність між тривалістю руху  $t_1$  і фазовим кутом  $\alpha$  при коливаннях з паузами:

$$tg \alpha = - \frac{(\sin \omega t_1 - \frac{\omega}{\rho} \cdot \sin \rho t_1)}{(\cos \omega t_1 - \cos \rho t_1)}. \quad (18)$$

Тепер виключимо  $x_0$  з рівняння (14), (15). Для цього помножимо (14) на  $\sin \rho t_1$ , а (15) на  $(1 + \cos \rho t_1)$ , після чого, віднімаючи один вираз від іншого, отримуємо:

$$\begin{aligned} \frac{Q}{M(\omega^2 - \rho^2)} \cdot \{(\cos \omega t_1 - \cos \rho t_1) \cdot \sin \rho t_1 - \\ - (\frac{\omega}{\rho} \cdot \sin \omega t_1 - \sin \rho t_1) \cdot (1 + \cos \rho t_1)\} \cdot \cos \alpha + \\ + [-(\sin \omega t_1 - \frac{\omega}{\rho} \cdot \sin \rho t_1) \cdot \sin \rho t_1 - \\ - \frac{\omega}{\rho} \cdot (\cos \omega t_1 - \cos \rho t_1) \cdot (1 + \cos \rho t_1)] \cdot \sin \alpha + \frac{F^*}{M \rho^2} \cdot \\ \{ (1 - \cos \rho t_1) \cdot \sin \rho t_1 + \sin \rho t_1 \cdot (1 + \cos \rho t_1) \} = 0. \end{aligned} \quad (19)$$

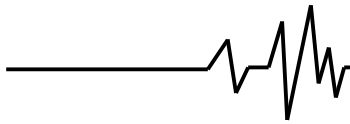
Шляхом звичайних тригонометричних перетворень цей вираз приведемо до більш простого виду:

$$\begin{aligned} \frac{F^*}{Q} = \frac{1}{[1 - (\frac{\omega}{\rho})^2]} \times \\ \times \frac{\cos \frac{\omega t_1}{2} \cdot \sin \frac{\rho t_1}{2} - \frac{\omega}{\rho} \cdot \sin \frac{\omega t_1}{2} \cdot \cos \frac{\rho t_1}{2}}{\sin \frac{\rho t_1}{2}} \times \\ \times \cos(\alpha + \frac{\omega t_1}{2}). \end{aligned} \quad (20)$$

Формули (18) та (20) використовуємо для визначення критичної сили тертя  $F_{кр}^*$ , за якої тривалість пауз зменшується до нуля, а тривалість руху  $t_1$  прямує до напівперіоду коливань  $\frac{\pi}{\omega}$ . Такому критичному тертю  $F_{кр}^*$  повинен відповідати певний критичний кут  $\alpha$ , котрий позначимо  $\alpha_{кр}$ . Цей кут знайдемо з формули (18) як границю функції при  $t_1 \rightarrow \frac{\pi}{\omega}$ :

$$\begin{aligned} tg \alpha_{кр} = \lim_{t_1 \rightarrow \frac{\pi}{\omega}} \{ - \frac{\sin \omega t_1 - \frac{\omega}{\rho} \sin \rho t_1}{\cos \omega t_1 - \cos \rho t_1} \} = \\ = - \frac{\omega}{\rho} \cdot \frac{\sin(\frac{\rho}{\omega} \cdot \pi)}{1 + \cos(\frac{\rho}{\omega} \cdot \pi)}, \end{aligned} \quad (21)$$

або:



$$tg\alpha_{кр} = -\lambda \cdot tg\left(\frac{\pi}{2\lambda}\right), \quad (22)$$

де  $\lambda = \frac{\omega}{\rho}$  - відношення частоти вимушених коливань  $\omega$  до частоти  $\rho$  власних коливань системи назвемо кратністю частот.

Аналітично з формули (20) знаходимо:

$$\frac{F_{кр}^*}{Q} = \lim_{t_1 \rightarrow \frac{\pi}{\omega}} \left\{ \frac{\cos \frac{\omega t_1}{2} \cdot \sin \frac{\rho t_1}{2} - \frac{\omega}{\rho} \cdot \sin \frac{\omega t_1}{2} \cdot \cos \frac{\rho t_1}{2}}{[1 - (\frac{\omega}{\rho})^2] \cdot \sin \frac{\rho t_1}{2}} \times \right. \\ \left. \times \cos\left(\alpha + \frac{\omega t_1}{2}\right) \right\} = \frac{-\sin \alpha_{кр}}{[1 - (\frac{\omega}{\rho})^2]} \quad (23)$$

$$\times \left(-\frac{\omega}{\rho} \cdot \frac{\cos \frac{\pi \rho}{2\omega}\right) = \frac{(\frac{\omega}{\rho})}{[1 - (\frac{\omega}{\rho})^2]} \cdot \frac{tg\alpha_{кр}}{tg \frac{\pi \rho}{2\omega} \cdot \sqrt{1 + tg^2 \alpha_{кр}}}$$

Підставляючи у цей вираз (23) замість  $tg\alpha_{кр}$  його значення з рівняння (22), отримаємо формулу для критичного тертя:

$$\frac{F_{кр}^*}{Q} = -\frac{\lambda^2}{(1 - \lambda^2)} \cdot \frac{1}{\sqrt{1 + (\lambda \cdot tg \frac{\pi}{2\lambda})^2}}, \quad (24)$$

котра показує, що величина критичного тертя залежить тільки від кратності частот  $\lambda$  й амплітуди вимушеної сили.

Зі зміною  $\lambda$  величина  $(\frac{F_{кр}^*}{Q})$  періодично змінюється від нуля до максимуму, причому величина максимумів поступово зменшується. Ця залежність представлена графіком на рис. 2.

За величиною критичного тертя встановлюється, чи відбуваються коливання без пауз чи з паузами.

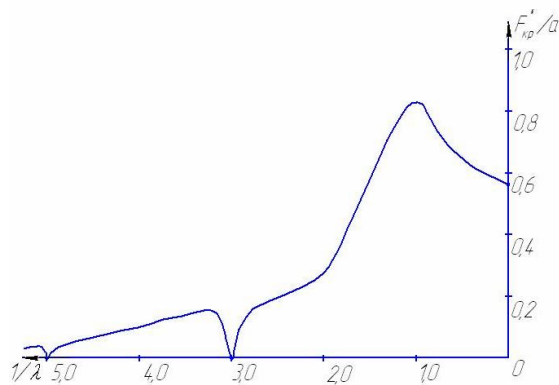


Рис. 2. Графік зміни величини критичної сили тертя від частоти вимушених коливань  $(F_{кр}^*/Q = f(1/\lambda))$ .

**Коливання без пауз** відбуваються за умови  $F^* < F_{кр}^*$ . При цьому тривалість руху

$t_1 = \frac{\pi}{\omega}$ , виведемо формулу для визначення фазового кута:

$$\frac{F^*}{Q} = \frac{1}{[1 - (\frac{\omega}{\rho})^2]} \cdot \frac{(-\frac{\omega}{\rho} \cdot \cos \frac{\pi \rho}{2\omega})}{\sin \frac{\pi \rho}{2\omega}} \cdot \cos\left(\alpha + \frac{\pi}{2}\right) = \\ = \frac{\lambda}{(1 - \lambda^2)} \cdot \frac{\sin \alpha}{tg\left(\frac{\pi}{2\lambda}\right)}, \quad (25)$$

Звідки:

$$\alpha_{F^* < F_{кр}^*} = \arcsin\left[\frac{F^*}{Q} \cdot \frac{(1 - \lambda^2)}{\lambda} \cdot tg \frac{\pi}{2\lambda}\right]. \quad (26)$$

При цих значеннях  $t_1$  і  $\alpha$  з рівняння (14) отримаємо наступний вираз для амплітуди коливань:

$$X_{\rho_{F^* < F_{кр}^*}} = \frac{Q}{M\omega^2} \cdot \frac{\lambda^2}{(1 - \lambda^2)} \times \\ \times \sqrt{1 - \left(\frac{F^*}{Q} \cdot \frac{1 - \lambda^2}{\lambda^2} \cdot tg \frac{\pi}{2\lambda}\right)^2} = A \cdot \cos \alpha, \quad (27)$$

де  $A = \frac{Q}{M\omega^2} \cdot \cos \alpha$  - представляє собою амплітуду коливань даної системи при відсутності опору ( $F \equiv 0$ ).

**Коливання з паузами** відбуваються при  $F^* > F_{кр}^*$ . У цьому випадку тривалість руху

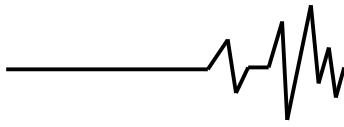
$t_1 < \frac{\pi}{\omega}$ . Величина  $t_1$  знаходиться з рівнянь (18)

та (20). Розв'язавши ці рівняння відносно  $\alpha$  й прирівнюючи праві частини отриманих виразів, отримаємо наступні вирази для визначення тривалості руху  $t_1$  чи її безрозмірної величини  $T_1 = \tilde{T} / 2 = \omega t_1$ .

$$\frac{T_1}{2} - \arccos\left[\left(\frac{F^*}{Q}\right) \times \right. \\ \left. \times \frac{(1 - \lambda^2) \cdot \sin\left(\frac{T_1}{2\lambda}\right)}{\cos\left(\frac{T_1}{2}\right) \cdot \sin\left(\frac{T_1}{2\lambda}\right) - \lambda \cdot \sin\left(\frac{T_1}{2}\right) \cdot \cos\left(\frac{T_1}{2\lambda}\right)}\right] - \\ - \arctg\left(\frac{\sin(T_1) - \lambda \cdot \sin\left(\frac{T_1}{\lambda}\right)}{\cos(T_1) - \cos\left(\frac{T_1}{\lambda}\right)}\right) = 0, \quad (28)$$

де  $T_1 = \tilde{T} / 2 = \omega t_1 < \pi$ .

Отриманий вираз (28) дає залежність  $T_1 = f(F^* / Q)$  при  $\lambda = \text{const}$ . Однак, у зв'язку з



трансцендентністю цього виразу тривалість руху  $T_1$  не може бути представлена явною функцією, тому значення  $T_1$  для цього конкретного випадку слід визначати чисельним методом.

Обчислюючи величину  $T_1$ , фазовий кут і амплітуду знаходять за формулами (16), (18):

$$\alpha_{F^* > F_{кр}} = -\arctg\left(\frac{\sin T_1 - \lambda \cdot \sin \frac{T_1}{\lambda}}{\cos T_1 - \cos \frac{T_1}{\lambda}}\right); \quad (29)$$

$$X_0_{F^* > F_{кр}} = A \cdot (1 - \lambda^2) \cdot \left(\cos \alpha - \frac{F^*}{Q}\right). \quad (30)$$

Для випадку, коли сила тертя дорівнює критичному тертю -  $F^* = F_{кр}, T_1 \rightarrow \pi, \alpha = \alpha_{кр}$  - амплітуда коливань приймає значення:

$$X_0_{F^* = F_{кр}} = A \cdot \frac{(1 - \lambda^2)}{\lambda^2} \cdot \left(\frac{F_{кр}}{Q}\right). \quad (31)$$

Таким чином, отриманий розв'язок (повний) задачі про вимушені коливання з сухим тертям. Знайдені залежності для визначення амплітуди коливань  $X_0$ , фазового кута  $\alpha$  й тривалості руху  $T_1$  дійсні для усіх діапазонів частот. За виключенням виразу (28), ці залежності досить нескладні для практичного застосування. Відносно рівняння (28) для визначення тривалості руху  $T_1$  зробимо дане зауваження.

При  $\lambda > \frac{1}{3}$  величина  $T_1$  у рівнянні (28) є однозначною функцією  $F^*/Q$ . Для таких значень  $\lambda$  за заданою  $F^*/Q$  рівняння (28) має тільки один дійсний корінь  $T_1$ . При  $\lambda > \frac{1}{3}$  рівняння (28) може мати кілька коренів, тобто для одного й того ж значення  $F^*/Q$  може існувати кілька різних значень  $T_1$ , які задовольняють рівнянню (28). Зі зменшенням  $\lambda$  число можливих коренів збільшується. Однак з усіх можливих значень  $T_{1i}$ , які задовольняють (28), існує тільки одне значення  $T_1$ , за котрого будуть мати місце усталені вимушені коливання. Всі інші значення  $T_1$ , хоча і є коренями рівняння (28), не відповідають режиму усталених коливань. Для таких коренів на ділянці від 0 до  $T_1$  виникає нерівність (3), за якої змінюється знак  $F^*$  й тим самим порушується умова неперервності руху.

**Динамічний коефіцієнт (коефіцієнт підсилення) коливань системи для різних режимів її руху.**

Відношення амплітуди коливань  $X_0$  до переміщення системи від дії статичної сили  $Q$

прийнято називати динамічним коефіцієнтом чи коефіцієнтом підсилення:

$$\chi = \frac{X_0}{(Q/k)} = \frac{X_0}{A \cdot (1 - \lambda^2)}. \quad (32)$$

Згідно формул (27), (30), (31) динамічні коефіцієнти для коливної системи з сухим тертям будуть:

$$\chi_{F^* < F_{кр}} = \frac{\cos \alpha}{1 - \lambda^2} = \frac{\sqrt{1 - \left(\frac{F^*}{Q} \cdot \frac{1 - \lambda^2}{\lambda} \cdot \operatorname{tg}\left(\frac{\pi}{2\lambda}\right)\right)^2}}{1 - \lambda^2}; \quad (33)$$

$$\chi_{F^* = F_{кр}} = \frac{1}{\lambda} \cdot \left(\frac{F_{кр}}{Q}\right); \quad (34)$$

$$\chi_{F^* > F_{кр}} = \cos \alpha - \frac{F^*}{Q}. \quad (35)$$

**Рівняння у безрозмірних величинах.**

При дослідженні коливних систем всі величини доцільно подати у безрозмірному вигляді. Поділивши праву й ліву частини рівняння (1) або (2) на  $Q$  й зробивши підстановку:  $\tau = \omega t; x = A \cdot z$ , отримаємо диференціальне рівняння у безрозмірних величинах:

$$\frac{\lambda^2}{1 - \lambda^2} \ddot{z} + \frac{1}{1 - \lambda^2} \dot{z} + \left(\frac{F^*}{Q}\right) z = \cos(\tau + \alpha). \quad (36)$$

Всі формули й залежності, отримані для рівняння (1) чи (2), залишаються справедливими й для безрозмірного рівняння (36). У останньому випадку тільки слід постійні параметри прийняти рівними:

$$Q = 1; \omega = 1; M = \frac{\lambda^2}{1 - \lambda^2}; k = \frac{1}{1 - \lambda^2}; \rho = \frac{1}{\lambda}; A = 1. \quad (37)$$

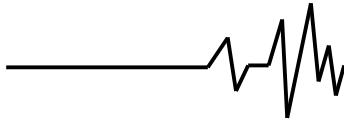
Загальний інтеграл безрозмірного рівняння (36) отримаємо з рівняння (11), підставляючи у останнє замість постійних параметрів їх значення з формул (37):

$$\begin{aligned} z = & z_0 \cdot \cos\left(\frac{\tau}{\lambda}\right) + \cos \tau \cdot \cos \alpha - \\ & - \cos\left(\frac{\tau}{\lambda}\right) \cdot \cos \alpha - \sin \tau \cdot \sin \alpha + \\ & + \lambda \cdot \sin\left(\frac{\tau}{\lambda}\right) \cdot \sin \alpha - \left(\frac{F^*}{Q}\right) \times \\ & \times (1 - \lambda^2) \cdot \cos\left(\frac{\tau}{\lambda}\right). \end{aligned} \quad (38)$$

Після елементарних перетворень це рівняння приводиться до виду:

$$\begin{aligned} Z = & \cos(\tau + \alpha) + [B \cdot \cos\left(\frac{\tau}{\lambda}\right) + C \cdot \sin\left(\frac{\tau}{\lambda}\right)] - \\ & - (1 - \lambda^2) \cdot \left(\frac{F^*}{Q}\right), \end{aligned} \quad (39)$$

де



$$B = z_0 - \cos \alpha + (1 - \lambda^2) \cdot \frac{F^*}{Q}; C = \lambda \cdot \sin \alpha.$$

Тут  $z_0 = \frac{X_0}{A}$  - амплітуда коливань безрозмірної системи.

Рівняння (39) показує, що коливання системи з сухим тертям можна розглядати як суперпозицію трьох складових коливань, які подані трьома членами цього рівняння:

1)  $\cos(\tau + \alpha)$  - складова вимушених коливань системи без опору під впливом одиничної вимушеної сили;

2)  $[B \cdot \cos(\frac{\tau}{\lambda}) + C \cdot \sin(\frac{\tau}{\lambda})]$  - складова власних коливань пружної системи без опору;

3)  $(1 - \lambda^2) \cdot (\frac{F^*}{Q})$  - постійна складова, яка дорівнює зміщенню системи від дії статично прикладеної сили ( $\frac{F^*}{Q}$ ).

**Приклади вимушених коливань з сухим тертям.**

Приклад 1. Дослідимо вимушені коливання з сухим тертям при  $\lambda = \frac{1}{4} = 0,25; \frac{F^*}{Q} = 0,260$ .

Оскільки  $\frac{F_{кр}^*}{Q} = -0,067$ , то встановлюємо, що у даному випадку коливання відбуваються з паузами.

Для  $T_1$  знаходимо три значення:

$$T_{11} = 153^\circ \text{ ж } T_{12} = 116^\circ; T_{13} = 80^\circ 31'.$$

Фазові кути  $\alpha$ , які відповідають цим значенням  $T_1$ :

$$\alpha_1 = 49,9^\circ; \alpha_2 = 73^\circ; \alpha_3 = 61^\circ 31'.$$

Для всіх трьох значень  $T_{1i}$  й  $\alpha_i$  у даному конкретному випадку  $F^* < 0$ , а

$$z_{01} = 0,847; z_{02} = 0,509; z_{03} = 0,695.$$

Підставляючи обчислені значення  $z_{0i}$  й  $\alpha_i$ , а також значення ( $\frac{F^*}{Q}$ ) й  $\lambda$  у рівняння (39),

отримаємо три розв'язки задачі. Однак, будуючи графік руху системи, встановлюється, що усталені вимушені коливання можливі тільки при  $T_{13} = 80^\circ 31'; \alpha_3 = 61^\circ 31'; z_{03} = 0,695$ .

Рівняння руху системи при цих значеннях буде:

$$z = \cos(\tau + 61^\circ 21') - 0,221 \cdot \cos(4\tau + 82^\circ 13') + 0,244;$$

$$0 \leq \tau \leq T_{13} = 80^\circ 30'.$$

Приклад 2. Задане  $\lambda = 0,1; \frac{F^*}{Q} = 0,0936$ .

Розв'язуючи цю задачу аналогічним чином, знайдено:

$$T_1 = 138^\circ; \alpha_3 = 31^\circ 16'; z_0 = 0,9389.$$

Рівняння руху цієї системи:

$$z = \cos(\tau + 31^\circ 16') - 0,0526 \cdot \cos(10\tau + 80^\circ 39') + 0,0927.$$

Характер такого руху наступний: він має на окремих ділянках різні сповільнення, котрі можна легко прийняти за паузи, хоча вони і не є справжніми паузами.

**Оптимізація режимів руху вібросистеми у період розгону (за відсутності вимушеної сили).**

Використаємо підхід автора [13] для оптимізації режимів руху вібросистеми у періоди розгону з кінцевого положення при відсутності вимушеної сили,  $Q \equiv 0$ . Виходячи з рівняння (1) сожна легко знайти:

$$X = -\frac{F}{k} \cdot \frac{\dot{x}}{|\dot{x}|} - \frac{M\dot{x}}{k} \quad (40)$$

Нехай у період розгону  $t \in [0, t_p]$ , де  $t_p$  - тривалість розгону вібросистеми,  $\dot{x} < 0$ , тоді з (40) маємо:

$$X = -\frac{F}{k} - \frac{M\dot{x}}{k}. \quad (41)$$

(Вважаємо, що під час розгону знак швидкості руху ( $\text{sign}(\dot{x})$ ) вібросистеми не змінюється).

У якості критерію якості руху вібросистеми оберемо наступний:

$$\int_0^{t_p} x^2 dt \Rightarrow \min \quad (42)$$

Враховуючи (41), критерій (42) можна подати у вигляді:

$$\int_0^{t_p} \left[ \frac{F}{R} - \frac{\ddot{x}}{\rho^2} \right]^2 dt \Rightarrow \min \quad (43)$$

Рівняння Пуасона-Ейлера для (43) має вигляд:

$$x^{(IV)} = 0 \quad (44)$$

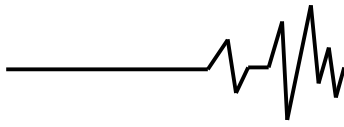
Початкові умови для розгону вібросистеми отримаємо наступними:

$$x|_{t=0} = x_0; \dot{x}|_{t=0} = 0; \dot{x}|_{t=t_p} = -V_p; x|_{t=t_p} = x_p \quad (45)$$

Закон оптимального руху  $x(t)$  вібросистеми, який задовольняє (44) й умови (45) має вид:

$$x(t) = x_0 + \left\{ \frac{3 \cdot (-x_0 + x_p)}{t_p^2} + \frac{V_p}{t_p} \right\} \cdot t^2 + \left\{ -\frac{V_p}{t_p^2} - \frac{2 \cdot (-x_0 + x_p)}{t_p^3} \right\} \cdot t^3, \quad (46)$$

тобто є кубічним атлайном по часу  $t$ .



Якщо необхідно забезпечити більш жорсткі умови гладкості руху вібросистеми у період її розгону, тоді можна розв'язати рівняння (44) для наступних початкових умов:

$$x|_{t=0} = x_0; \dot{x}|_{t=0} = 0; \dot{x}|_{t=t_p} = -V_p; \ddot{x}|_{t=t_p} = 0 \quad (47)$$

У (45) й (47) входить параметр  $V_p$ , який визначає модуль швидкості руху вібросистеми у кінці періоду розгону (при його завершенні), й визначається з міркувань нормативів експлуатації обладнання у нормальному (без перевантажень) режимі.

Для умов (47) оптимальний закон руху вібросистеми має вид:

$$x(t) = x_0 + \left(-\frac{V_p}{t_p}\right) \cdot t^2 + \frac{V_p \cdot t^3}{3t_p^2}, \quad (48)$$

тобто теж є кубічним пілайном відносно часу  $t$ , але з іншими (на відміну від (46)) коефіцієнтами.

Оберемо далі у якості критерію руху вібросистеми у період її розгону наступні:

$$\int_0^{t_p} (\dot{x})^2 dt \Rightarrow \min \quad (49)$$

Якщо вираз (41) продиференціювати по часу  $t$  й підставити у (49), матимемо:

$$\int_0^{t_p} (\ddot{x})^2 dt \Rightarrow \min \quad (50)$$

Рівняння Ейлера-Пуасона для (50) має вид:

$$x^{(vi)} = 0 \quad (51)$$

Для початкових умов руху вібросистеми (з високим ступенем гладкості цього руху в кінці розгону):

$$\begin{aligned} x|_{t=0} = x_0; \dot{x}|_{t=0} = 0; x|_{t=t_p} = x_p; \dot{x}|_{t=t_p} = \\ = -V_p; \ddot{x}|_{t=t_p} = 0; \ddot{x}|_{t=t_p} = 0 \end{aligned}, \quad (52)$$

Матимемо закон оптимального руху у вигляді:

$$x(t) = x_0 + ct^2 + dt^3 + e \cdot t^4 + f \cdot t^5, \quad (53)$$

(тобто сітлайн п'ятого порядку по  $t$ ), де  $(c, d, e, f)$  – коефіцієнти визначаються з наступної лінійної системи рівнянь (за правилом Крамера):

$$\begin{aligned} c \cdot t_p^2 + dt_p^3 + et_p^4 + ft_p^5 &= x_p - x_0; \\ 2ct_p + 3dt_p^2 + 4et_p^3 + 5ft_p^4 &= -V_p; \\ 2c + 6dt_p + 12et_p^2 + 20ft_p^3 &= 0; \\ 6d + 24et_p + 60ft_p^2 &= 0. \end{aligned} \quad (54)$$

Якщо необхідно у кінці періоду розгону забезпечити ще більш гладкий рух, ніж за умов (52), то можна використати наступні початкові умови:

$$\begin{aligned} x|_{t=0} = x_0; \dot{x}|_{t=0} = 0; \dot{x}|_{t=t_p} = -V_p; \ddot{x}|_{t=t_p} = 0; \\ \ddot{x}|_{t=t_p} = 0; x^{(iv)}|_{t=t_p} = 0. \end{aligned} \quad (55)$$

Оптимальний закон руху вібросистеми у цьому випадку має наступний вид:

$$\begin{aligned} x(t) = x_0 + \left(-\frac{2V_p}{t_p}\right) \cdot t^2 + \frac{2V_p}{t_p^2} \cdot t^3 + \left(-\frac{V_p}{t_p^3}\right) \cdot t^4 + \\ + \frac{V_p \cdot t^5}{5 \cdot t_p^4}, \end{aligned} \quad (56)$$

тобто знову є сілайном п'ятого порядку по часу  $t$ .

### Висновки

1. Отримані точні розв'язки задачі про вимушені коливання вібросистеми з сухим тертям.

2. Показано, що усталені коливання можуть відбуватись без пауз і з паузами.

3. При силі тертя меншій критичної коливання відбуваються без пауз, при силі тертя більшій за критичну – з паузами. Паузи виникають тільки у кінцевих точках, які відповідають максимальному відхиленню системи, причому у одній половині періоду може бути лише одна пауза.

4. Усталені вимушені коливання у всьому діапазоні частот підкоряються одному і тому ж загальному закону й описуються одним і тим самим рівнянням (39).

5. Визначені закони оптимального руху вібросистеми у періоді її розгону з кінцевих положень (у яких  $\dot{x} \equiv 0$ ) за відсутності вимушеної сили ( $Q \equiv 0$ )

6. Отримані результати можуть у подальшому слугувати для уточнення і удосконалення існуючих інженерних методів розрахунку нелінійних вібросистем за наявності сил сухого тертя й у періоді їх пуску/гальмування з метою оптимізації кінематичних та динамічних характеристик останніх (досягнення певних умов гладкості руху).

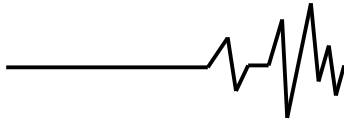
### Література

1. Ден-Гартог Дж.П. Механические колебания. Физматгаз, 1960. – 235 с.

2. Den-Hartog I.P. Forced Vibrations With Combined Coulomb and Viscous II Transactions of ASME – 1981. – Vol. APM-53. – no.9. – P. 107–115.

3. Стрекис А.М. Вынуждение колебания с одной степенью свободы при наличии сухого трения и при произвольной возмущающей силе // Вопросы динамики и динамической прочности. – Рига, 1956. – Вып.IV. – С. 104–112.





4. Крилов А.М. О некоторых дифференциальных уравнениях математической физики. – М.-Л.: Физматгиз, 1950. – 160 с.
5. Сакович В.Л. Вынуждение колебания вибратора при наличии сухого трения // Научные труды Киевского инженерно-строительного института. – 1964. – Вып.20. – С. 116–126.
6. Курдюпов А.А. Вибрация корабля. – Л: Машгиз, 1961. – 208 с.
7. Сакович В.Л. Об учете сил сопротивления у вибраторах для бетона // Известия вузов. Строительство и архитектура. – 1961. – №6. – С. 68–73.
8. Сакевич В.Л. Исследование машин вибрационного действия // Научные труды Киевского инженерно-строительного институтв. – К.,1961. – Вып.17. – С. 204–209.
9. Сакевич В.Л. Метод решения уравнений динамически нелинейных вибросистем // Научные труды Киевского инженерно-строительного института. – К.,1964. – Вып.20. – С. 91–105.
10. Дег Г. Руководство по практическому применению преобразования Лапласа. – М.: Наука, 1965. – 287 с.
11. Лурье А.И. Операционное исчисление и его применения к задачам механики. – М.-Л.: Физматгиз, 1951. – 451 с.
12. Овчинников П.Ф. Виброреология. – К.: Наукова думка, 1983. – 272 с.
13. Ловейкін В.С. Оптимізація режимів руху машин і механізмів // Машинознавство. – 2001. – №7(25). – С. 24–31.